



## Full Inyección o Carburación

### Analisis de Algoritmos

Cristian Leon

*Programa Ing. Ciencias de la Computación e Inteligencia Artificial  
Universidad Sergio Arboleda*

*Bogotá, Colombia  
Noviembre del 2025*



# Índice

<b>1. Introducción</b>	<b>3</b>
Marco teórico . . . . .	4
<b>2. Análisis del problema</b>	<b>6</b>
Variables del sistema . . . . .	6
Rango y discretización . . . . .	6
Justificación del muestreo Monte Carlo . . . . .	7
Métricas evaluadas . . . . .	8
<b>3. Modelado del sistema y diagramas</b>	<b>9</b>
3.1. Diagrama de contexto . . . . .	9
3.2. Diagrama de casos de uso . . . . .	9
3.3. Diagrama de actividades (flujo de simulación) . . . . .	10
3.4. Diagrama de explosión combinatoria (NP-like) . . . . .	11
3.5. Diagrama de arquitectura del sistema . . . . .	12
<b>4. Diseño del software</b>	<b>13</b>
4.1. Componentes del sistema . . . . .	13
4.2. Integración general de los módulos . . . . .	14
<b>5. Implementación</b>	<b>15</b>
<b>6. Resultados</b>	<b>25</b>
6.1. Resultados en Páramo . . . . .	26
6.2. Resultados en Tierra Caliente . . . . .	28
6.3. Resultados en Tierra Fría . . . . .	30
6.4. Resultados en Tierra Templada . . . . .	32
<b>7. Conclusiones</b>	<b>34</b>
<b>Bibliografía</b>	<b>35</b>



## 1. Introducción

El presente informe desarrolla un modelo computacional orientado a la simulación del suministro de combustible en motores de combustión interna de pequeña cilindrada. El propósito principal es comparar el comportamiento de un sistema de inyección electrónica frente a un carburador, bajo un enfoque de análisis algorítmico. La simulación implementada utiliza técnicas de muestreo Monte Carlo y computación vectorizada, generando mapas de combustible en función de RPM y apertura del acelerador. Adicionalmente, se analiza la naturaleza NP-like del problema asociado a la generación exhaustiva de estos mapas, justificando el uso de métodos aproximados. El documento presenta la fundamentación teórica, el análisis del problema, el modelado, la arquitectura del software, la implementación y los resultados obtenidos.



## Marco teórico

La operación eficiente de un motor de combustión interna depende críticamente de la correcta proporción entre masa de aire admitido y masa de combustible inyectada. La relación aire-combustible estequiométrica para gasolina convencional se aproxima por la razón:

$$AFR = \frac{m_{\text{aire}}}{m_{\text{combustible}}} \approx 14,7$$

por cada masa de combustible (kg) se requieren  $\approx 14,7$  kg de aire para la combustión completa. En electrónica de inyección la variable controlada es el *pulse width* (ancho de pulso) del inyector, que es proporcional a la masa de combustible necesaria y depende del caudal nominal del inyector. Matemáticamente:

$$\text{pw (s)} \propto \frac{m_{\text{combustible}}}{\dot{m}_{\text{inyector}}}.$$

**Carburador: principios operativos** El carburador es un dispositivo mecánico que dosifica combustible mediante diferencias de presión (efecto Venturi) y circuitos calibrados (chicler, aguja, circuito de baja/alta). Sus ventajas históricas son simplicidad, robustez y un comportamiento predecible en condiciones bien conocidas; además, cuando está correctamente afinado puede ofrecer mezclas adecuadas sin electrónica compleja. Por su naturaleza mecánica, el carburador responde directamente a la aspiración de aire y a la geometría de sus circuitos, y tiende a comportarse de manera estable en muchas condiciones reales.

**Inyección electrónica en motocicletas: mito y realidad** En las motocicletas de pequeña cilindrada, la inyección electrónica es típicamente del tipo inyección indirecta por puerto, por lo que el combustible no se inyecta dentro de la cámara de combustión —región donde ocurren los cuatro tiempos del ciclo Otto— sino en el conducto de admisión, aguas arriba de la válvula. Debido a esta arquitectura, el flujo de aire sigue dependiendo de un Venturi o estrangulamiento geométrico en el cuerpo de aceleración, similar al del carburador, que genera la depresión necesaria para modular la dinámica del aire aspirado y para asegurar una adecuada atomización del combustible. En consecuencia, aunque la dosificación del combustible está controlada electrónicamente mediante sensores (TPS, IAT, MAP/Baro, CKP) y una ECU, la base física del proceso —variación de presión inducida por el Venturi— sigue siendo comparable a la del carburador. Así, la ECU no “calcula” la mezcla desde primeros principios termodinámicos, sino que selecciona valores desde un mapa predefinido ( $RPM \times TPS$ ) con correcciones adicionales, lo cual limita la supuesta superioridad del sistema y explica por qué en motocicletas pequeñas la diferencia de rendimiento entre inyección y carburación puede ser menor de lo que suele asumirse.

**Causas históricas de la migración a inyección** La adopción masiva de la inyección no fue motivada exclusivamente por incrementos de potencia, sino por



factores regulatorios y de combustible: normas de emisiones más estrictas, necesidad de control preciso de mezcla para catalizadores, y la llegada de combustibles oxigenados (p. ej. con etanol) que favorecieron sistemas menos sensibles a depósitos y variantes químicas. El etanol y compuestos oxigenantes pueden producir residuos que afectan circuitos de carburador (pegajosidad, obstrucciones), mientras que los sistemas de inyección son menos vulnerables a esos efectos por su diseño (bombas y filtros cerrados, inyectores).

**Mapas, muestreo y naturaleza NP-like** Un *mapa de combustible* es una discretización del espacio de operación (p. ej. RPM × TPS) que asigna un ancho de pulso a cada celda. Si se añaden más variables o se incrementa la resolución, el número total de combinaciones crece exponencialmente (producto de niveles por sensor). Esa explosión combinatoria es la razón por la cual construir un mapa exhaustivo es computacionalmente impracticable; por ello se recurre a muestreo Monte Carlo y a técnicas de interpolación/optimización para aproximar la respuesta real del motor sin evaluar todas las combinaciones posibles. La distinción entre la velocidad de la implementación (ej., vectorización con NumPy) y la complejidad intrínseca del espacio de estados es central para este trabajo.

## 2. Análisis del problema

El objetivo central del proyecto es comparar el comportamiento de un sistema de carburación frente a un sistema de inyección electrónica en un motor monocilíndrico de motocicleta, mediante la construcción y análisis de mapas de combustible simulados. Para ello se modelan las variables físicas relevantes, se determina su rango de operación, se definen las discretizaciones necesarias y se establece la metodología de muestreo para aproximar el espacio total de estados del motor. La naturaleza combinatoria del problema requiere un enfoque probabilístico basado en Monte Carlo debido a la inviabilidad práctica de un muestreo exhaustivo.

### Variables del sistema

En la simulación se consideran las variables fundamentales que determinan la masa de aire admitida y, por consiguiente, la masa de combustible requerida:

- **RPM (Revoluciones por minuto)**: indica la velocidad angular del cigüeñal y determina la frecuencia de ciclos de admisión.
- **TPS (Throttle Position Sensor)**: porcentaje de apertura del acelerador, que correlaciona con el flujo de aire admitido.
- **IAT (Intake Air Temperature)**: temperatura del aire de admisión, variable que influye en la densidad del aire según la relación inversa  $\rho \propto \frac{1}{T}$ .
- **Presión ambiental / MAP**: la presión absoluta afecta la densidad del aire y, por tanto, la masa admitida por ciclo.
- **VE (Volumetric Efficiency)**: eficiencia volumétrica del motor, modelada como una variable dependiente de RPM y carga. Representa qué fracción del volumen teórico del cilindro se llena realmente.

Estas variables constituyen un subconjunto esencial del conjunto completo de sensores que emplearía un sistema real de inyección; sin embargo, su combinación es suficiente para modelar la dinámica general del sistema y construir mapas representativos.

### Rango y discretización

Cada variable se discretiza en un conjunto finito de niveles o *bins* que definen la resolución del mapa generado:

- **RPM**: típicamente entre 1500 y 9000 rpm, discretizadas en intervalos uniformes.



- **TPS:** entre 0 % y 100 %, dividido en niveles proporcionales (por ejemplo, 5–10 bins).
- **IAT:** temperatura entre 5°C y 35°C.
- **Presión:** valores típicos entre 70 kPa y 102 kPa, dependiendo de la altitud.
- **VE:** entre 65 % y 95 %, modelado como una variable continua dependiente de RPM.

El número total de combinaciones posibles resulta del producto cartesiano de todos los bins de todas las variables. Aun con discretizaciones conservadoras, este espacio crece exponencialmente, lo que refleja la naturaleza NP-like del problema. Por ejemplo, si se discretizan solo cinco variables con diez niveles cada una, se obtienen  $10^5 = 100\,000$  combinaciones; aumentando la resolución a 20 niveles por variable se obtienen  $3,2 \times 10^6$  combinaciones. Un mapa completo con más variables (p. ej. carga, temperatura de motor, barometría) puede alcanzar cientos de millones de estados.

## Justificación del muestreo Monte Carlo

Dado que el espacio de estados crece de forma exponencial con la cantidad de variables y niveles de discretización, un muestreo exhaustivo resulta computacional y temporalmente inviable. Asimismo, muchos de los estados posibles representan situaciones operativas extremadamente improbables o físicamente irrelevantes para el funcionamiento real del motor.

Por estas razones, se implementa un **muestreo Monte Carlo**, donde cada estado se genera de manera aleatoria dentro del rango de cada variable, respetando distribuciones de probabilidad coherentes con el uso típico del motor. Este enfoque permite:

- Cubrir regiones representativas del espacio sin recorrerlo completamente.
- Reducir el costo computacional a tiempo lineal respecto al número de muestras.
- Conservar las correlaciones probabilísticas entre variables (por ejemplo, VE elevada a medio régimen, variaciones de IAT según entorno).
- Aproximar los mapas de combustible mediante densidad de muestras y promedios estadísticos.

En síntesis, el método Monte Carlo evita la explosión combinatoria y proporciona una aproximación robusta al comportamiento real del sistema con un costo computacional razonable.

## Métricas evaluadas

Cada simulación produce varias métricas clave:

- **Pulso de inyección (ms)**: corresponde al ancho de pulso requerido para alcanzar la relación aire-combustible objetivo. Es la salida primaria del modelo.
- **Consumo en L/h**: a partir del pulso en milisegundos y del caudal nominal del inyector, se calcula la masa total de combustible consumida por hora.
- **Consumo por tanque**: convertido a litros y considerando un tanque de 11 L, se estima cuántas horas de operación continua puede sostener el motor.
- **Autonomía (km/tanque)**: usando una velocidad promedio representativa, se proyecta la distancia que podría recorrer la motocicleta antes de vaciar el tanque.

Estas métricas permiten una comparación directa entre carburación e inyección electrónica, no solo en términos de eficiencia de combustible, sino también en la estabilidad del sistema bajo variaciones ambientales y operativas.

### 3. Modelado del sistema y diagramas

El sistema propuesto requiere una caracterización clara de sus interacciones, funcionalidades y estructura interna. Para ello se incluyen cinco diagramas: contexto, casos de uso, actividades, NP-like y arquitectura. Cada uno aporta una perspectiva distinta que facilita comprender el funcionamiento del simulador de inyección y carburador.

#### 3.1. Diagrama de contexto

El diagrama de contexto muestra el sistema como una caja negra, identificando al usuario como actor principal, las entradas que proporciona (parámetros y configuraciones de simulación) y las salidas que genera el sistema (mapas CSV, gráficos térmicos y resúmenes). Representa la interacción general sin detallar el funcionamiento interno.

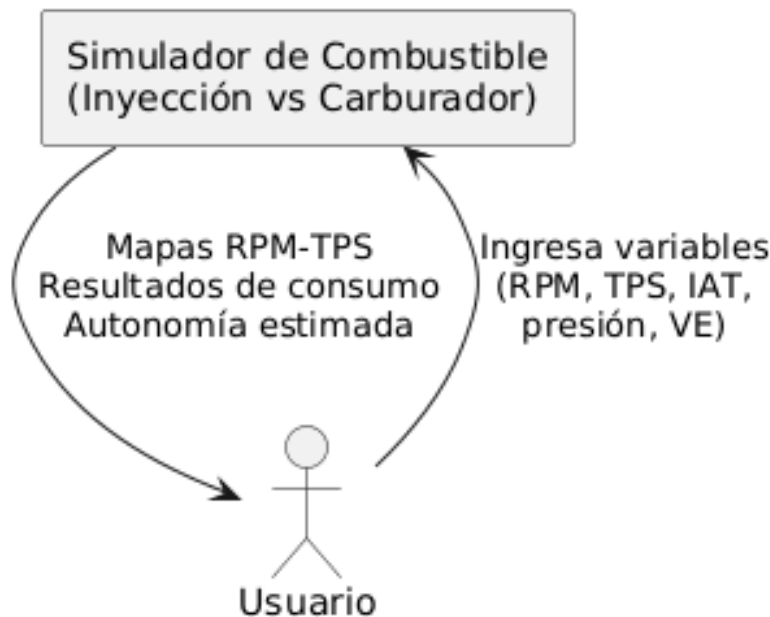


Figura 1: Diagrama de contexto.

#### 3.2. Diagrama de casos de uso

Este diagrama resume las acciones que el usuario puede realizar dentro del sistema: seleccionar un piso térmico, definir la cantidad de muestras, ejecutar el motor de simulación, exportar resultados y visualizar el módulo NP-like. Permite entender las funciones principales disponibles para el operador.

### 3.3 Diagrama de actividades (flujo de simulación)

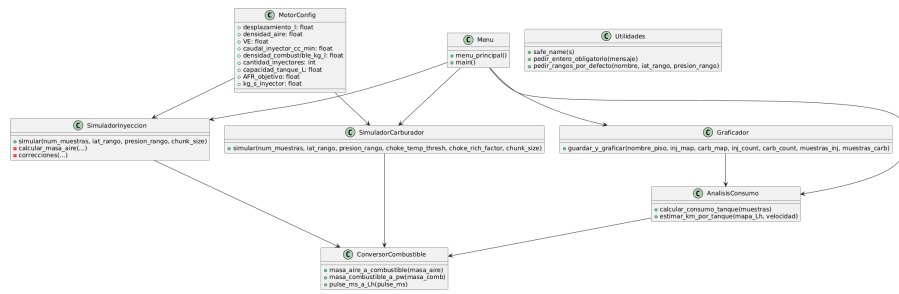


Figura 2: Casos de uso del sistema.

### 3.3. Diagrama de actividades (flujo de simulación)

Representa el flujo lógico desde que el usuario ingresa parámetros hasta que se generan los mapas. Incluye etapas como: generación de muestras, cálculo de masa de aire, obtención del pulse width, construcción del mapa térmico, conversión a L/h y exportación final de archivos.

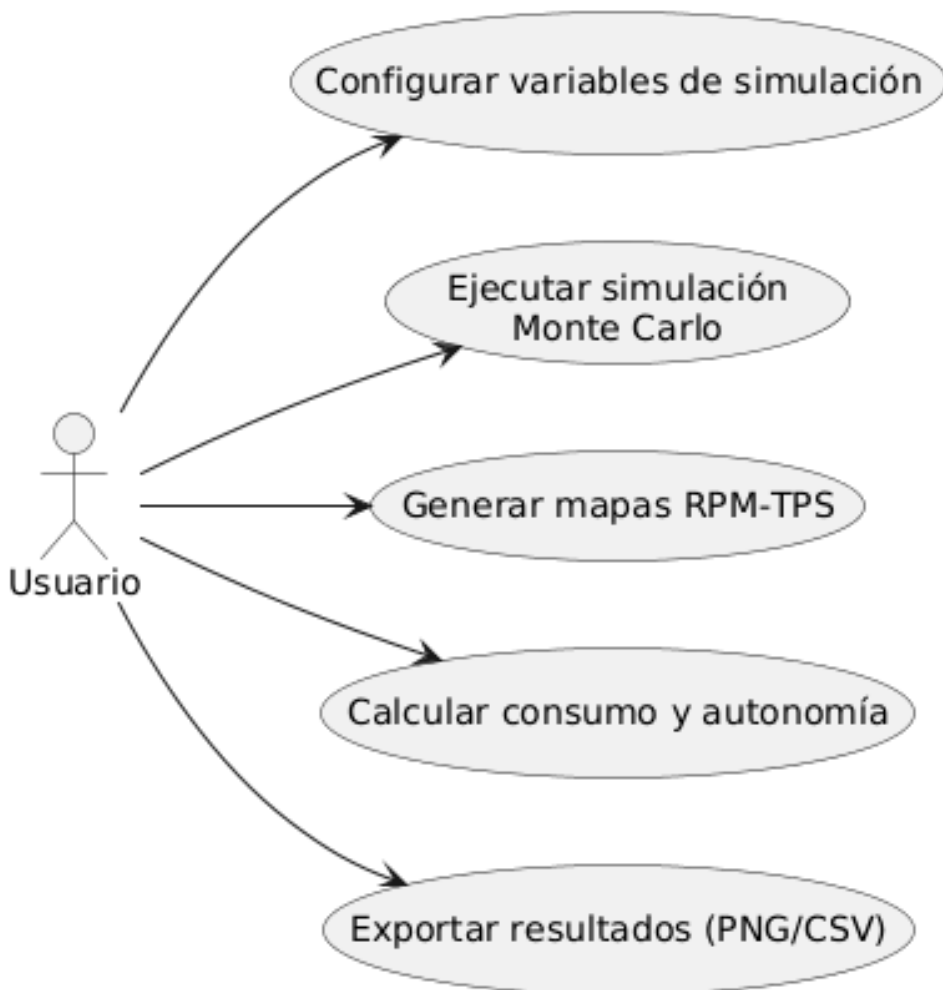


Figura 3: Flujo de actividades del proceso de simulación.

### 3.4. Diagrama de explosión combinatoria (NP-like)

Este diagrama ilustra cómo crece el número total de combinaciones a medida que aumenta la resolución de los sensores (RPM, TPS, IAT, presión). Permite visualizar el impacto computacional del modelo vectorizado y la necesidad de optimizar el procesamiento por lotes (chunking).



### 3.5 Diagrama de arquitectura del sistema

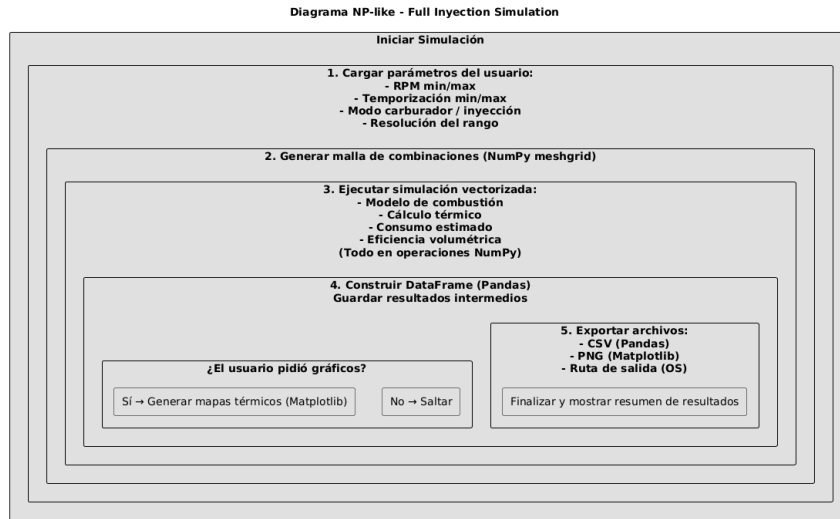


Figura 4: Diagrama NP-like que representa la explosión combinatoria.

### 3.5. Diagrama de arquitectura del sistema

Se presenta la estructura interna del simulador, organizada por módulos: interfaz, generador de muestras, simulador de inyección, simulador carburador, conversores de datos, exportación de archivos y módulo NP-like. Este diagrama ayuda a entender la organización del código y las dependencias entre componentes.

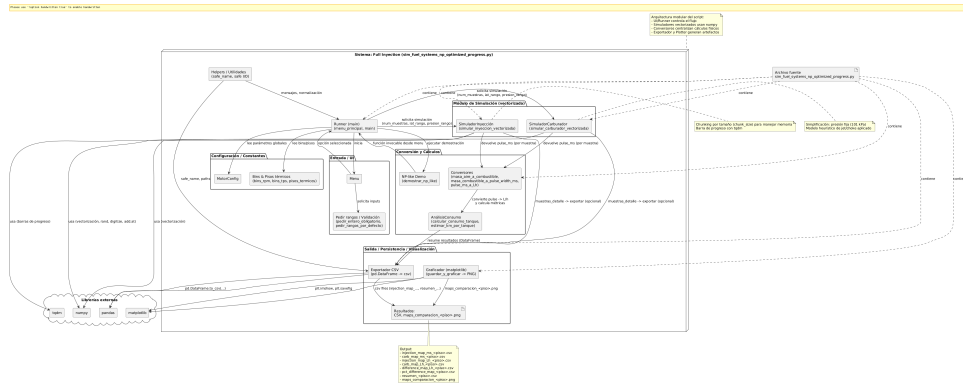


Figura 5: Arquitectura interna del sistema.



## 4. Diseño del software

El diseño del simulador se estructuró siguiendo un enfoque modular que permite aislar responsabilidades, facilitar el mantenimiento del código y habilitar futuras extensiones sin reescribir componentes centrales. Cada módulo cumple un rol específico dentro del proceso de simulación y se comunica con los demás mediante un flujo claro de datos. A continuación se describen los componentes principales del sistema.

### 4.1. Componentes del sistema

**Módulo de entrada (UI / CLI)** Este módulo gestiona la interacción inicial con el usuario. Permite definir el número de simulaciones para los sistemas de inyección y carburación, así como seleccionar las condiciones ambientales (modo normal o modo páramo). Su función principal es validar las entradas, establecer parámetros iniciales y dirigir el flujo hacia el motor de simulación.

**Módulo de simulación vectorizada** Constituye el núcleo matemático del sistema. Implementado con NumPy, genera muestras aleatorias para las variables principales (RPM, TPS, IAT, presión y eficiencia volumétrica). Utiliza operaciones vectorizadas para calcular, de manera simultánea, los valores de masa de aire y requerimiento de combustible bajo distintos regímenes de operación. Este enfoque evita recorrer exhaustivamente el espacio completo de estados, reduciendo la complejidad computacional y permitiendo simular miles de combinaciones en un solo paso.

**Módulo de conversión y análisis** A partir del *pulse width* calculado para cada muestra, este módulo convierte dicha magnitud a consumo volumétrico (L/h), aplicando el caudal nominal del inyector. También genera métricas comparativas como consumo promedio, autonomía estimada y dispersión de resultados. Incluye funciones para calcular estadísticas como percentiles, promedios y desviaciones, proporcionando una interpretación cuantitativa del comportamiento general.

**Módulo de exportación** Encargado de almacenar los resultados generados por los módulos anteriores. Produce archivos CSV con las métricas principales, así como gráficos PNG que incluyen mapas RPM–TPS, distribuciones y comparaciones visuales entre los sistemas. Su objetivo es permitir análisis posteriores sin necesidad de repetir las simulaciones.

**Módulo opcional de calibración (GA)** El diseño contempla la futura incorporación de un módulo basado en algoritmos genéticos (GA), utilizando librerías como DEAP. Este componente permitiría ajustar automáticamente parámetros del modelo con base en datos reales, buscando minimizar el error entre la simulación y



mediciones experimentales. Aunque no se implementa en la versión actual, la arquitectura habilita su integración sin modificaciones estructurales.

## 4.2. Integración general de los módulos

En conjunto, estos módulos conforman un flujo coherente que inicia con la adquisición de parámetros, continúa con el procesamiento matemático vectorizado, avanza hacia el análisis estadístico y finaliza con la exportación de resultados visuales y numéricos. Esta arquitectura modular permite una simulación robusta, escalable y fácilmente ampliable para futuras versiones.



## 5. Implementación

La implementación del simulador se desarrolló en Python utilizando un enfoque orientado al procesamiento vectorizado, con el fin de maximizar el rendimiento durante la generación masiva de muestras y el cálculo de parámetros de combustión. A continuación se describen las funciones principales incluidas en el sistema, sin mostrar aún el código fuente completo.

**Función de generación de muestras** Esta función crea arreglos vectorizados para las variables fundamentales del modelo: revoluciones por minuto (RPM), posición del acelerador (TPS), temperatura del aire (IAT), presión absoluta (MAP) y eficiencia volumétrica (VE). Emplea distribuciones uniformes o normales según la naturaleza de cada variable, produciendo miles de combinaciones aleatorias para alimentar el motor de simulación.

**Función de cálculo de masa de aire** Con base en las muestras generadas, esta función estima la masa de aire aspirada por el motor utilizando una versión simplificada de la ecuación de gas ideal. El cálculo se realiza completamente mediante operaciones vectorizadas de NumPy para reducir el tiempo de ejecución.

**Función de cálculo del *pulse width*** A partir de la masa de aire estimada, esta función determina el tiempo de apertura del inyector (*pulse width*) utilizando la relación estequiométrica y el caudal mísico de combustible del sistema. Es uno de los pasos clave del simulador y está optimizado para operar sobre vectores de gran tamaño.

**Función de conversión a consumo volumétrico** Esta rutina convierte el *pulse width* calculado a unidades de consumo (L/h). Considera características del inyector, densidad del combustible y frecuencia de inyección por ciclo, generando valores comparables entre sistemas de inyección y carburación.

**Función de análisis estadístico** Incluye el cálculo de métricas derivadas tales como promedio, mediana, percentiles y desviación estándar. Estas estadísticas permiten caracterizar el comportamiento global del sistema bajo diferentes condiciones de operación y modos ambientales.

**Función de exportación de resultados** Encargada de generar archivos externos en formatos CSV y gráficos PNG. Produce mapas RPM–TPS, distribuciones de consumo y comparaciones entre los sistemas modelados. Facilita la documentación y análisis de los resultados sin necesidad de ejecutar nuevamente la simulación.



**Funciones auxiliares** El código incluye funciones adicionales para verificación de parámetros, normalización de datos, control del modo páramo y manejo interno de rutas para la exportación de archivos. Aunque no forman parte del núcleo matemático, garantizan consistencia y robustez en la ejecución.

```
1 # archivo: sim_fuel_systems_np_optimized_progress.py
2 # Requisitos: numpy, pandas, matplotlib, tqdm
3 # pip install numpy pandas matplotlib tqdm
4
5 import numpy as np
6 import pandas as pd
7 import matplotlib.pyplot as plt
8 from tqdm import tqdm
9 import time
10 import os
11 import math
12 import unicodedata
13
14 # ----- Parámetros generales -----
15 SEED = 42
16 np.random.seed(SEED)
17
18 # Motor ajustado para moto 125cc
19 desplazamiento_l = 0.125      # litros (125cc)
20 densidad_aire = 1.2          # kg/m3 aprox
21 VE = 0.9                    # volumetric efficiency (0-1)
22 caudal_inyector_cc_min = 300.0 # cc/min por inyector (ejemplo)
23 densidad_combustible_kg_l = 0.75 # kg/L (gasolina)
24 cantidad_inyectores = 1       # inyectores por motor
25 capacidad_tanque_L = 11.0    # litros
26
27 # Mapeo base (RPM x TPS)
28 bins_rpm = np.linspace(1000, 12000, 25)      # 25 bins -> 24 celdas
29 bins_tps = np.linspace(0.0, 100.0, 25)        # 25 bins -> 24 celdas
30
31 # Rangos por defecto para pisos térmicos (sin tierra helada)
32 pisos_termicos = {
33     1: ("Tierra caliente", (24, 38), (95, 101)),
34     2: ("Tierra templada", (17, 24), (90, 101)),
35     3: ("Tierra fría", (12, 17), (85, 101)),
36     4: ("Pramo", (6, 12), (70, 95)),
37 }
38
39 # Conversión caudal inyector cc/min -> kg/s
40 def inyector_ccmin_a_kg_s(cc_min, densidad=densidad_combustible_kg_l):
41     L_min = cc_min / 1000.0
42     kg_min = L_min * densidad
43     return kg_min / 60.0
44
45 kg_s_inyector = inyector_ccmin_a_kg_s(caudal_inyector_cc_min) *
46     cantidad_inyectores
47 AFR_objetivo = 14.7 # relación aire/combustible objetivo
48
```



```
49 # ----- Helpers -----
50 def safe_name(s):
51     """Convierte nombre a min sculas, sin tildes ni espacios (para
52     archivos)."""
53     s_nf = unicodedata.normalize('NFKD', s)
54     s_ascii = ''.join(c for c in s_nf if not unicodedata.combining(c))
55     return s_ascii.replace(' ', '_').lower()
56
56 def pedir_rangos_por_defecto(nombre_piso, iat_rango, presion_rango):
57     print(f"\nHas seleccionado '{nombre_piso}'")
58     print("Los rangos recomendados para este piso t rmico son:")
59     print(f"    Temperatura de admisi n (IAT): {iat_rango[0]} C a {iat_rango[1]} C ")
60     print(f"    Presi n ambiente: {presion_rango[0]} kPa a {presion_rango[1]} kPa")
61     input("Presiona Enter para aceptar estos rangos y continuar...")
62     return iat_rango, presion_rango
63
64 # Entrada obligatoria (sin default)
65 def pedir_entero_obligatorio(mensaje):
66     while True:
67         entrada = input(mensaje + ": ").strip()
68         if entrada == "":
69             print("Debes ingresar un n mero entero positivo (no se
70             aceptan valores por defecto).")
71             continue
72         try:
73             val = int(entrada)
74             if val > 0:
75                 return val
76             else:
77                 print("Por favor ingresa un n mero entero positivo.")
78         except:
79             print("Entrada inv lida. Intenta de nuevo.")
80
80 # ----- Conversiones -----
81 def masa_aire_a_combustible(masa_aire_kg_s, afr=AFR_objetivo):
82     return masa_aire_kg_s / afr
83
84 def masa_combustible_a_pulse_width_ms(masa_comb_kg_s,
85     kg_s_inyector_local=kg_s_inyector):
86     if np.isscalar(masa_comb_kg_s):
87         if kg_s_inyector_local <= 0:
88             return 0.0
89         else:
90             if kg_s_inyector_local <= 0:
91                 return np.zeros_like(masa_comb_kg_s)
92             pw_s = masa_comb_kg_s / kg_s_inyector_local
93             return pw_s * 1000.0
94
94 def pulse_ms_a_Lh(pulse_ms, kg_s_inyector_local=kg_s_inyector, densidad=densidad_combustible_kg_l):
95     duty = pulse_ms / 1000.0 # seg
```



```
96     flujo_kg_s = kg_s_inyector_local * duty
97     flujo_L_s = np.divide(flujo_kg_s, densidad, out=np.zeros_like(
98     flujo_kg_s), where=(densidad!=0))
99     return flujo_L_s * 3600.0 # L/h
100
101 # ----- Simulaciones vectorizadas (NP-like, mapa 2D)
102 -----
103 def simular_inyeccion_vectorizada(num_muestras, iat_rango,
104     presion_rango, chunk_size=200000):
105     """
106     Simulaci n vectorizada con barra de progreso por chunks.
107     """
108     shape = (len(bins_rpm)-1, len(bins_tps)-1)
109     suma_map = np.zeros(shape, dtype=float)
110     cuenta_map = np.zeros(shape, dtype=int)
111     muestras_list = []
112
113     total_chunks = math.ceil(num_muestras / chunk_size)
114     processed = 0
115
116     for _ in tqdm(range(total_chunks), desc="Simulaci n INYECCION",
117                   unit="chunk"):
118         n = min(chunk_size, num_muestras - processed)
119         if n <= 0:
120             break
121
122         rpms = np.random.uniform(1000.0, 12000.0, size=n)
123         tps = np.random.uniform(0.0, 100.0, size=n)
124         iat = np.random.uniform(iat_rango[0], iat_rango[1], size=n)
125         presion = np.random.uniform(presion_rango[0], presion_rango[1],
126                                     size=n)
127
128         ciclos_por_seg = rpms / 2.0 / 60.0
129         vol_por_ciclo_m3 = (desplazamiento_l / 1000.0) * VE
130         flujo_vol_m3_s = vol_por_ciclo_m3 * ciclos_por_seg * (tps /
131                                     100.0)
132         masa_flujo_kg_s = flujo_vol_m3_s * densidad_aire
133
134         corr_temp = 1.0 - 0.01 * (iat - 20.0)
135         corr_presion = presion / 101.0
136         masa_aire_corr = masa_flujo_kg_s * corr_temp * corr_presion
137
138         masa_comb_req = masa_aire_corr / AFR_objetivo # kg/s
139
140         with np.errstate(divide='ignore', invalid='ignore'):
141             pw_s = masa_comb_req / kg_s_inyector
142             pulse_ms = np.where(kg_s_inyector > 0, pw_s * 1000.0, 0.0)
```



```
143     pos_plana = idx_rpm * shape[1] + idx_tps
144     np.add.at(suma_map.ravel(), pos_plana, pulse_ms)
145     np.add.at(cuenta_map.ravel(), pos_plana, 1)
146
147     muestras_chunk = np.column_stack((rpms, tps, iat, presion,
148                                       pulse_ms))
149     muestras_list.append(muestras_chunk)
150
151     processed += n
152
153     with np.errstate(divide='ignore', invalid='ignore'):
154         mapa_promedio = np.divide(suma_map, np.where(cuenta_map>0,
155                                     cuenta_map, 1))
156         mapa_promedio[cuenta_map==0] = np.nan
157         muestras_detalle = np.vstack(muestras_list) if len(muestras_list) >
158                                     0 else np.empty((0,5))
159     return mapa_promedio, cuenta_map, muestras_detalle
160
161 def simular_carburador_vectorizada(num_muestras, iat_rango,
162                                       presion_rango, choke_temp_thresh=5.0, choke_rich_factor=1.5,
163                                       chunk_size=200000):
164     shape = (len(bins_rpm)-1, len(bins_tps)-1)
165     suma_map = np.zeros(shape, dtype=float)
166     cuenta_map = np.zeros(shape, dtype=int)
167     muestras_list = []
168
169     total_chunks = math.ceil(num_muestras / chunk_size)
170     processed = 0
171
172     for _ in tqdm(range(total_chunks), desc="Simulaci n CARBURADOR",
173                   unit="chunk"):
174         n = min(chunk_size, num_muestras - processed)
175         if n <= 0:
176             break
177
178         rpms = np.random.uniform(1000.0, 8000.0, size=n)
179         tps = np.random.uniform(0.0, 100.0, size=n)
180         iat = np.random.uniform(iat_rango[0], iat_rango[1], size=n)
181         presion = np.full(n, 101.0) # presi n fija para carburador (
182         simplificado)
183
184         ciclos_por_seg = rpms / 2.0 / 60.0
185         vol_por_ciclo_m3 = (desplazamiento_l / 1000.0) * VE
186         flujo_vol_m3_s = vol_por_ciclo_m3 * ciclos_por_seg * (tps /
187         100.0)
188         masa_flujo_kg_s = flujo_vol_m3_s * densidad_aire
189
190         jet_base_flow = 0.5
191         jet_effect = jet_base_flow * (1.0 + 0.01 * tps) * (1.0 + 0.0001
192         * (rpms - 2000.0))
193         masa_comb_req = masa_flujo_kg_s / AFR_objetivo * jet_effect
194
195         choke_mask = (iat <= choke_temp_thresh)
```



```
187     if choke_rich_factor != 1.0:
188         masa_comb_req = masa_comb_req * np.where(choke_mask,
189             choke_rich_factor, 1.0)
190
191     with np.errstate(divide='ignore', invalid='ignore'):
192         pw_s = masa_comb_req / kg_s_inyector
193         pulse_ms = np.where(kg_s_inyector > 0, pw_s * 1000.0, 0.0)
194
195         idx_rpm = np.digitize(rpms, bins_rpm) - 1
196         idx_tps = np.digitize(tps, bins_tps) - 1
197         idx_rpm = np.clip(idx_rpm, 0, shape[0]-1)
198         idx_tps = np.clip(idx_tps, 0, shape[1]-1)
199
200         pos_plana = idx_rpm * shape[1] + idx_tps
201         np.add.at(suma_map.ravel(), pos_plana, pulse_ms)
202         np.add.at(cuenta_map.ravel(), pos_plana, 1)
203
204         muestras_chunk = np.column_stack((rpms, tps, iat, presion,
205             pulse_ms))
206         muestras_list.append(muestras_chunk)
207
208         processed += n
209
210     with np.errstate(divide='ignore', invalid='ignore'):
211         mapa_promedio = np.divide(suma_map, np.where(cuenta_map>0,
212             cuenta_map, 1))
213         mapa_promedio[cuenta_map==0] = np.nan
214         muestras_detalle = np.vstack(muestras_list) if len(muestras_list) >
215             0 else np.empty((0,5))
216         return mapa_promedio, cuenta_map, muestras_detalle
217
218 # ----- Consumo y kilometraje -----
219 def calcular_consumo_tanque(muestras_detalle, duracion_seg=3600):
220     if muestras_detalle is None or len(muestras_detalle) == 0:
221         return 0.0, 0.0
222     pulse_ms = muestras_detalle[:, 4] # ms por muestra
223     Lh_por_muestra = pulse_ms_a_Lh(pulse_ms, kg_s_inyector)
224     consumo_medio_Lh = np.nanmean(Lh_por_muestra)
225     if np.isnan(consumo_medio_Lh) or consumo_medio_Lh <= 0:
226         return 0.0, 0.0
227     horas_por_tanque = capacidad_tanque_L / consumo_medio_Lh
228     km_por_tanque = horas_por_tanque * 40.0 # velocidad promedio
229     estimada 40 km/h
230     return consumo_medio_Lh, km_por_tanque
231
232 def estimar_km_por_tanque(mapa_Lh, velocidad_promedio_kmh=40):
233     if mapa_Lh is None or np.isnan(mapa_Lh).all():
234         return 0.0
235     consumo_medio_Lh = np.nanmean(mapa_Lh)
236     if consumo_medio_Lh <= 0 or np.isnan(consumo_medio_Lh):
237         return 0.0
238     horas_por_tanque = capacidad_tanque_L / consumo_medio_Lh
239     return horas_por_tanque * velocidad_promedio_kmh
```



```
235 # ----- NP-like: demostrar explosión combinatoria
236 # -----
237 def demostrar_np_like():
238     print("\n--- Demostración de crecimiento NP-like ---")
239     print("Al aumentar la resolución del mapa o el número de sensores ,")
240     print("el número de combinaciones posibles crece exponencialmente .\n")
241     print("1) Número de celdas en el mapa (RPM      TPS):")
242     for bins in [10, 20, 25, 30, 40]:
243         celdas = (bins - 1) * (bins - 1)
244         print(f" {bins} bins -> {celdas} celdas (aprox.)")
245     print("\n2) Combinaciones con S sensores y L niveles:")
246     sensores = [2, 3, 4, 5]
247     niveles = [10, 20, 50, 100]
248     for s in sensores:
249         print(f" Con {s} sensores:")
250         for l in niveles:
251             combinaciones = l ** s
252             print(f" {l}^{s} = {combinaciones:.2e} combinaciones")
253     print("\n3) Tiempo de muestreo ilustrativo:")
254     print(" Si cada muestra toma 1 ms, y queremos cubrir 1e6 combinaciones:")
255     print(" Tiempo = 1e6 ms = 1000 s = ~16.7 minutos")
256     print(" Para 1e9 combinaciones = ~11.5 días")
257
258 # ----- Guardado y gráficos -----
259 def guardar_y_graficar(nombre_piso, inj_map_ms, carb_map_ms, inj_count,
260                         carb_count, muestras_inj, muestras_carb, outdir="resultados"):
261     nombre_safe = safe_name(nombre_piso)
262     os.makedirs(outdir, exist_ok=True)
263
263     inj_Lh = pulse_ms_a_Lh(inj_map_ms, kg_s_inyector)
264     carb_Lh = pulse_ms_a_Lh(carb_map_ms, kg_s_inyector)
265
266     diff_Lh = inj_Lh - carb_Lh
267     with np.errstate(divide='ignore', invalid='ignore'):
268         pct_diff = 100.0 * diff_Lh / np.where(np.abs(carb_Lh) > 1e-12,
269                                              carb_Lh, np.nan)
270
271     # Guardar mapas
272     pd.DataFrame(inj_map_ms).to_csv(os.path.join(outdir, f" injection_map_ms_{nombre_safe}.csv"), index=False, header=False)
273     pd.DataFrame(carb_map_ms).to_csv(os.path.join(outdir, f" carb_map_ms_{nombre_safe}.csv"), index=False, header=False)
274     pd.DataFrame(inj_Lh).to_csv(os.path.join(outdir, f" injection_map_Lh_{nombre_safe}.csv"), index=False, header=False)
275     pd.DataFrame(carb_Lh).to_csv(os.path.join(outdir, f" carb_map_Lh_{nombre_safe}.csv"), index=False, header=False)
276     pd.DataFrame(diff_Lh).to_csv(os.path.join(outdir, f" difference_map_Lh_{nombre_safe}.csv"), index=False, header=False)
```



```
276 pd.DataFrame(pct_diff).to_csv(os.path.join(outdir, f"  
277     pct_difference_map_{nombre_safe}.csv"), index=False, header=False)  
  
278 # Resumen CSV por piso (una sola fila)  
279 consumo_inj_Lh, km_inj = calcular_consumo_tanque(muestras_inj)  
280 consumo_carb_Lh, km_carb = calcular_consumo_tanque(muestras_carb)  
281 celdas_inj = int(np.nansum(~np.isnan(inj_map_ms)))  
282 celdas_carb = int(np.nansum(~np.isnan(carb_map_ms)))  
  
283 resumen = {  
284     "nombre": [nombre_safe],  
285     "consumo_iny_Lh": [consumo_inj_Lh],  
286     "km_iny": [km_inj],  
287     "consumo_carb_Lh": [consumo_carb_Lh],  
288     "km_carb": [km_carb],  
289     "celdas_iny": [celdas_inj],  
290     "celdas_carb": [celdas_carb]  
291 }  
292 resumen_df = pd.DataFrame(resumen)  
293 resumen_path = os.path.join(outdir, f"resumen_{nombre_safe}.csv")  
294 resumen_df.to_csv(resumen_path, index=False)  
295  
296 print(f"\nGuardados resultados en '{outdir}' para {nombre_piso}")  
297 print(f"  Consumo inyección (estimado): {consumo_inj_Lh:.4f} L/h  
({km_inj:.2f} km/tanque)")  
298 print(f"  Consumo carburador (estimado): {consumo_carb_Lh:.4f} L/h  
({km_carb:.2f} km/tanque)")  
  
300 # Graficar mapas (L/h)  
301 plt.figure(figsize=(15,10))  
302 plt.subplot(2,3,1)  
303 plt.title(f"Mapa Inyección (ms) - {nombre_piso}")  
304 plt.imshow(inj_map_ms, origin='lower', aspect='auto', cmap='viridis')  
305 plt.colorbar()  
306 plt.subplot(2,3,2)  
307 plt.title(f"Mapa Carburador (ms) - {nombre_piso}")  
308 plt.imshow(carb_map_ms, origin='lower', aspect='auto', cmap='plasma')  
309 plt.colorbar()  
310 plt.subplot(2,3,3)  
311 plt.title(f"Mapa Inyección (L/h) - {nombre_piso}")  
312 plt.imshow(inj_Lh, origin='lower', aspect='auto', cmap='viridis')  
313 plt.colorbar()  
314 plt.subplot(2,3,4)  
315 plt.title(f"Mapa Carburador (L/h) - {nombre_piso}")  
316 plt.imshow(carb_Lh, origin='lower', aspect='auto', cmap='plasma')  
317 plt.colorbar()  
318 plt.subplot(2,3,5)  
319 plt.title(f"Diferencia absoluta (L/h) - {nombre_piso}")  
320 plt.imshow(diff_Lh, origin='lower', aspect='auto', cmap='seismic')  
321 plt.colorbar()  
322 plt.subplot(2,3,6)
```



```
324     plt.title(f"Diferencia relativa (%) - {nombre_piso}")
325     plt.imshow(pct_diff, origin='lower', aspect='auto', cmap='bwr')
326     plt.colorbar()
327
328     plt.tight_layout()
329     fig_path = os.path.join(outdir, f"maps_comparacion_{nombre_safe}.png")
330     plt.savefig(fig_path)
331     plt.close()
332     print(f"  Imagen generada: {fig_path}")
333     print(f"  Resumen guardado: {resumen_path}")
334
335 # ----- Men  e inicio -----
336 def menu_principal():
337     print("Simulaci  n de sistemas de combustible para moto 125cc (NP-
338 like, vectorizado)")
339     print("Seleccione un piso t rmico:")
340     for k in sorted(pisos_termicos.keys()):
341         print(f"  {k}) {pisos_termicos[k][0]}")
342     print("  5) Todas")
343     print("  6) Demostrar NP-like")
344     print("  0) Salir")
345
346     opcion = input("Ingrese opci  n: ").strip()
347     if opcion == "0":
348         print("Saliendo...")
349         exit(0)
350     elif opcion == "5":
351         return "todas", None, None
352     elif opcion == "6":
353         return "np", None, None
354     else:
355         try:
356             op_int = int(opcion)
357             if op_int in pisos_termicos:
358                 return "uno", op_int, None
359             else:
360                 print("Opci  n inv lida.")
361                 return menu_principal()
362         except:
363             print("Opci  n inv lida.")
364             return menu_principal()
365
366 def main():
367     opcion, piso_seleccionado, _ = menu_principal()
368
369     if opcion == "np":
370         demostrar_np_like()
371         return
372
373     if opcion == "todas":
374         num_inyeccion = pedir_entero_obligatorio("N mero de
simulaciones para INYECCI N (entero positivo)")
```



```
374     num_carburador = pedir_entero_obligatorio("Número de"
375         "simulaciones para CARBURADOR (entero positivo)")
376
377     for k in pisos_termicos:
378         nombre_piso, iat_rango, presion_rango = pisos_termicos[k]
379         print(f"\nEjecutando simulación para piso térmico: {"
380             f"nombre_piso}")
381
382         inj_map_ms, inj_count, muestras_inj =
383             simular_inyección_vectorizada(num_inyección, iat_rango,
384                 presion_rango)
385         carb_map_ms, carb_count, muestras_carb =
386             simular_carburador_vectorizada(num_carburador, iat_rango,
387                 presion_rango)
388
389         guardar_y_graficar(nombre_piso, inj_map_ms, carb_map_ms,
390             inj_count, carb_count, muestras_inj, muestras_carb)
391
392     elif opción == "uno":
393         nombre_piso, iat_rango, presion_rango = pisos_termicos[
394             piso_seleccionado]
395         iat_rango, presion_rango = pedir_rangos_por_defecto(nombre_piso
396             , iat_rango, presion_rango)
397
398         num_inyección = pedir_entero_obligatorio("Número de"
399             "simulaciones para INYECCIÓN (entero positivo)")
400         num_carburador = pedir_entero_obligatorio("Número de"
401             "simulaciones para CARBURADOR (entero positivo)")
402
402     print("\nIniciando simulación de INYECCIÓN (vectorizada)...")
403     inj_map_ms, inj_count, muestras_inj =
404         simular_inyección_vectorizada(num_inyección, iat_rango,
405             presion_rango)
405     print("Inyección completada.")
406
407     print("\nIniciando simulación de CARBURADOR (vectorizada)...")
408     carb_map_ms, carb_count, muestras_carb =
409         simular_carburador_vectorizada(num_carburador, iat_rango,
410             presion_rango)
411     print("Carburador completado.")
412
413     guardar_y_graficar(nombre_piso, inj_map_ms, carb_map_ms,
414             inj_count, carb_count, muestras_inj, muestras_carb)
415
416 if __name__ == "__main__":
417     main()
```

Listing 1: Simulación vectorizada (extracto)



% ————— RESULTADOS —————

## 6. Resultados

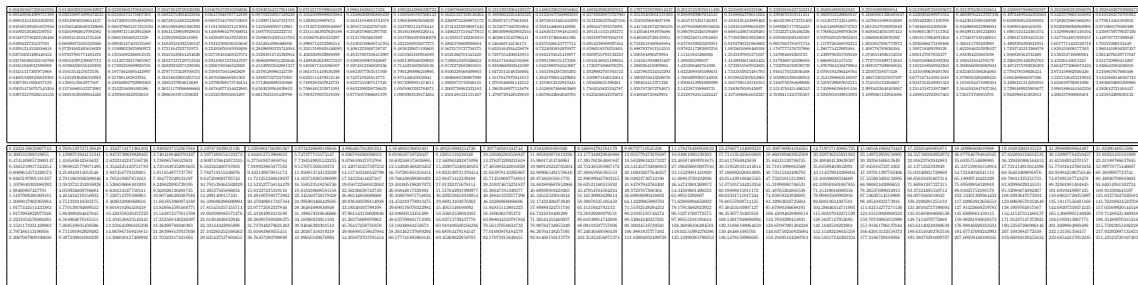
En esta sección se presentan los resultados obtenidos para cada uno de los ecosistemas evaluados: páramo, tierra caliente, tierra fría y tierra templada. Se incluyen mapas de carburación e inyección, diferencias absolutas y porcentuales, tablas resumen y mapas comparativos en formato PNG.



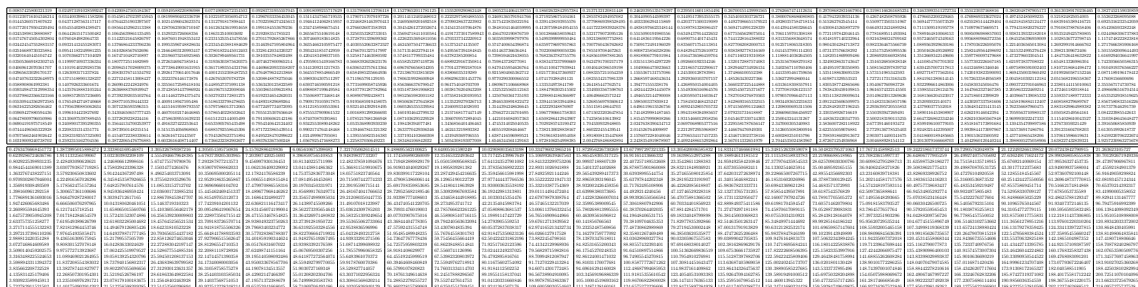
## 6.1 Resultados en Páramo

### 6.1. Resultados en Páramo

#### Mapas de carburación



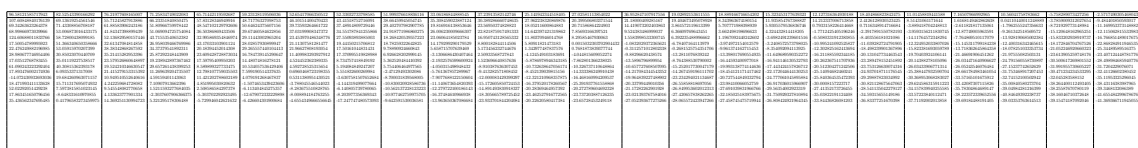
#### Mapas de inyección



#### Diferencias absolutas



#### Porcentajes de diferencia



#### Tabla resumen

nombre	consumo <sub>nyLh</sub>	km <sub>ny</sub>	consumo <sub>carbLh</sub>	km <sub>carb</sub>	celdas <sub>ny</sub>	celdas <sub>carb</sub>
paramo	1.0982164338656561	400.6496228172677	0.94178605567334	467.1974036453718	576	384

## 6.1 Resultados en Páramo

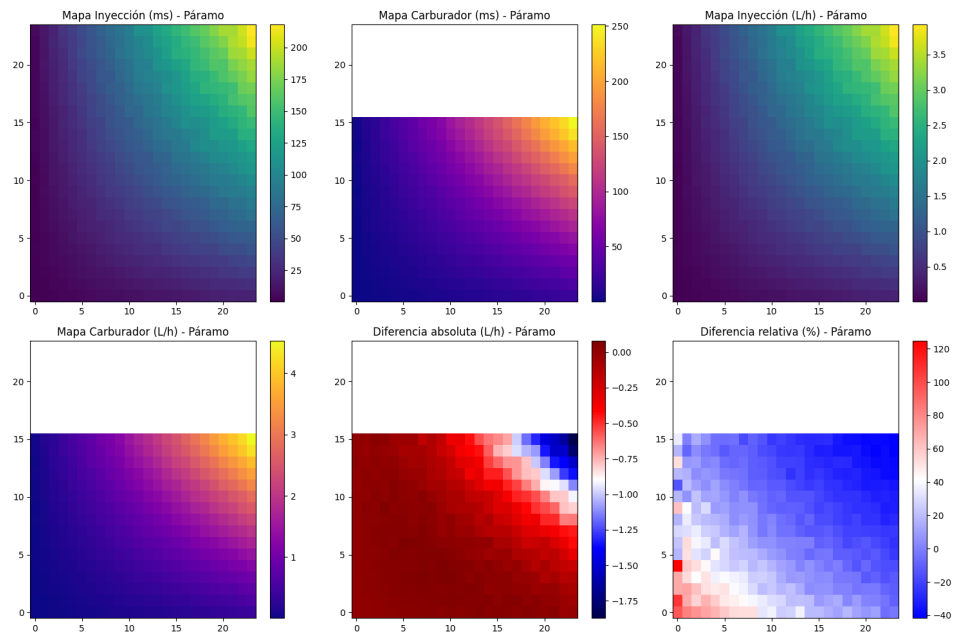


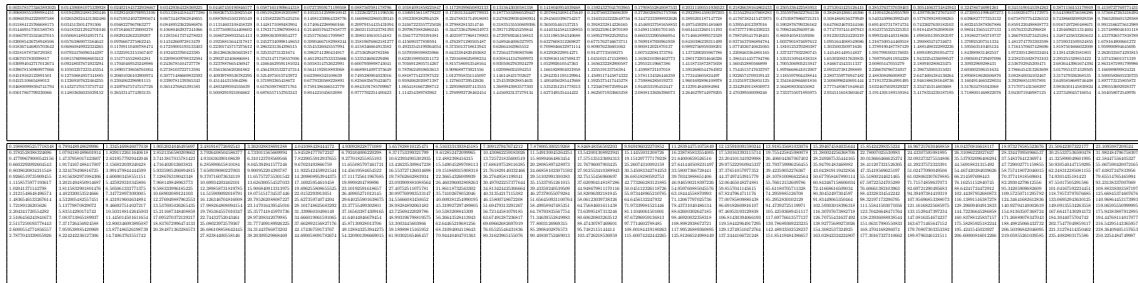
Figura 6: Mapa comparativo entre mapas de inyección y carburación en ecosistema de páramo.



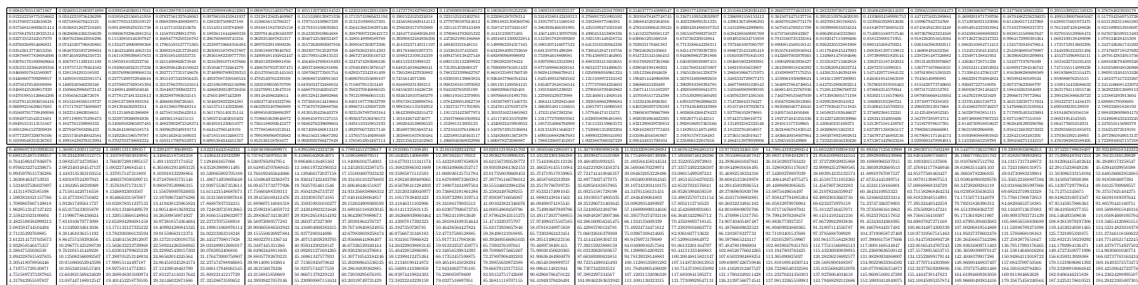
## 6.2 Resultados en Tierra Caliente

### 6.2. Resultados en Tierra Caliente

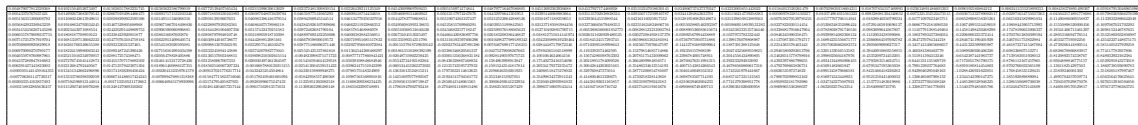
#### Mapas de carburación



#### Mapas de inyección



#### Diferencias absolutas



#### Porcentajes de diferencia



#### Tabla resumen

nombre	consumo <sub>nyLh</sub>	km <sub>ny</sub>	consumo <sub>carbLh</sub>	km <sub>carb</sub>	celdas <sub>ny</sub>	celdas <sub>carb</sub>
tierra <sub>caliente</sub>	1.029093137617957	427.56091155992783	0.9226021942841363	476.91193748070805	576	383

## 6.2 Resultados en Tierra Caliente

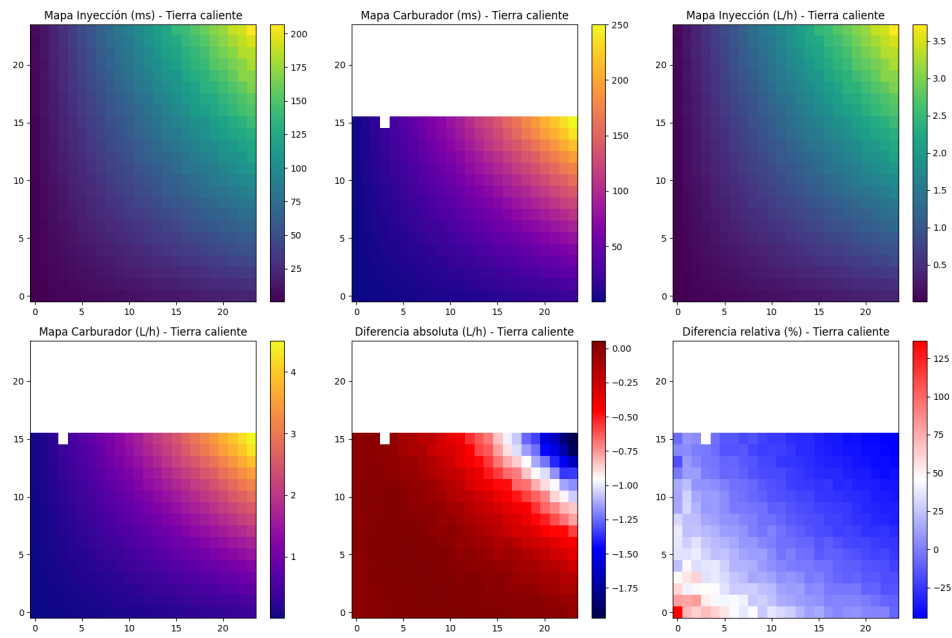


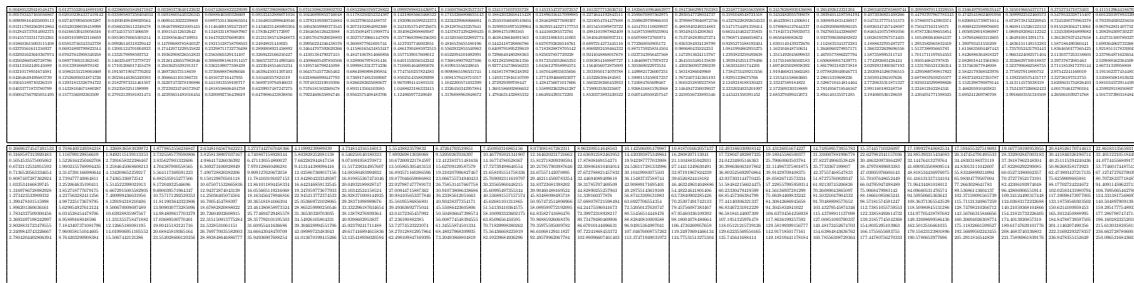
Figura 7: Mapa comparativo entre inyección y carburación en tierra caliente.



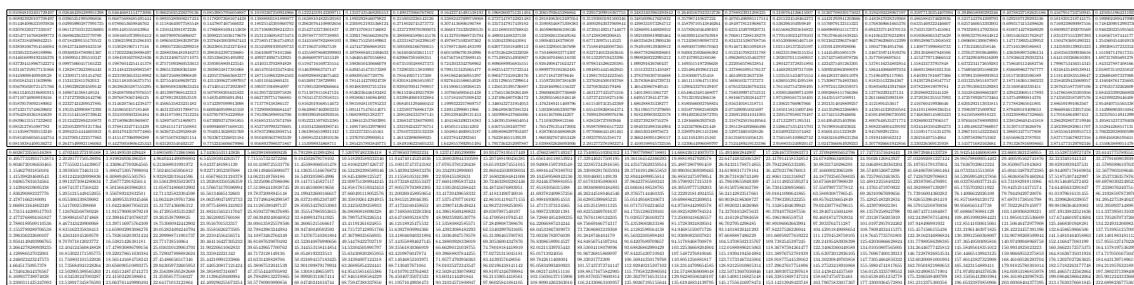
### 6.3 Resultados en Tierra Fría

#### 6.3. Resultados en Tierra Fría

##### Mapas de carburación



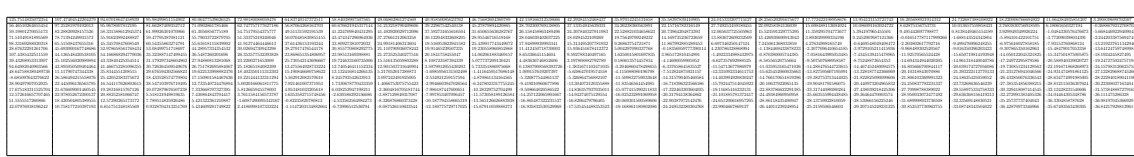
##### Mapas de inyección



##### Diferencias absolutas



##### Porcentajes de diferencia



##### Tabla resumen

nombre	consumo <sub>nyLh</sub>	km <sub>ny</sub>	consumo <sub>carbLh</sub>	km <sub>arb</sub>	celdas <sub>ny</sub>	celdas <sub>arb</sub>
tierra_fria	1.1765594691460832	373.97174689294775	0.9371383759848774	469.514440210162	576	384

## 6.3 Resultados en Tierra Fría

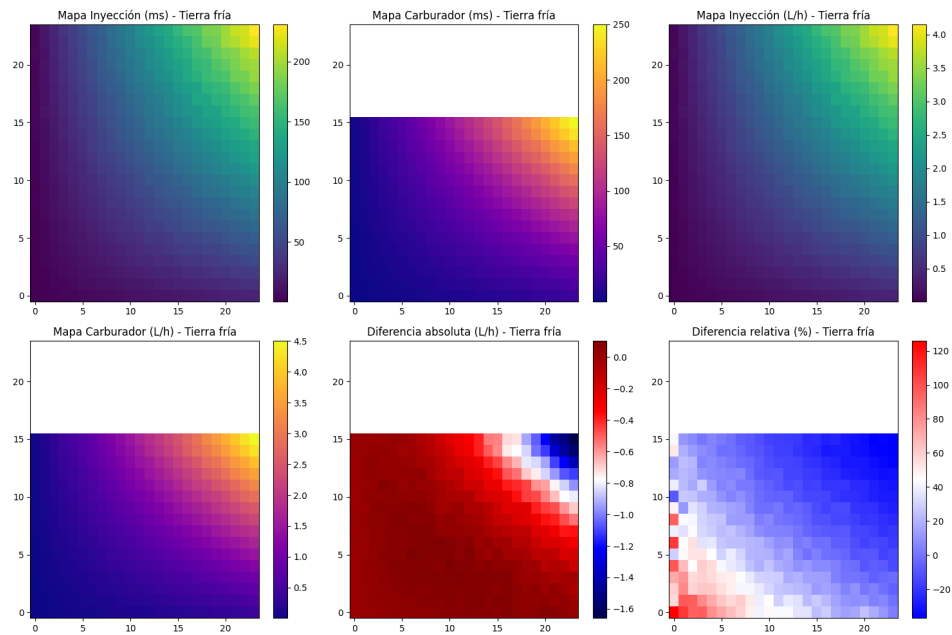


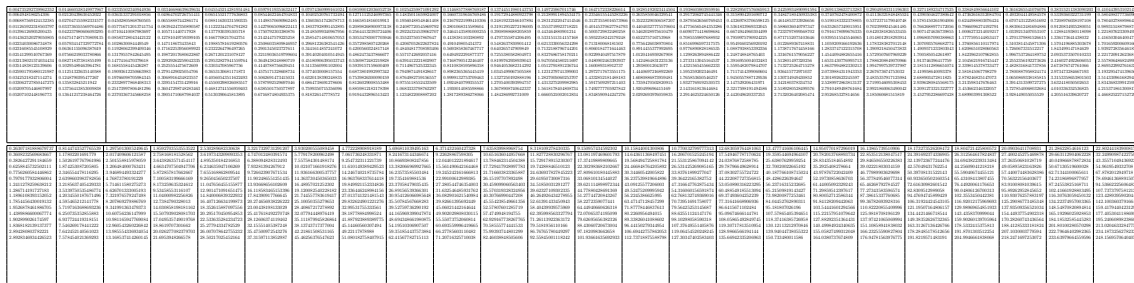
Figura 8: Mapa comparativo entre inyección y carburación en tierra fría.



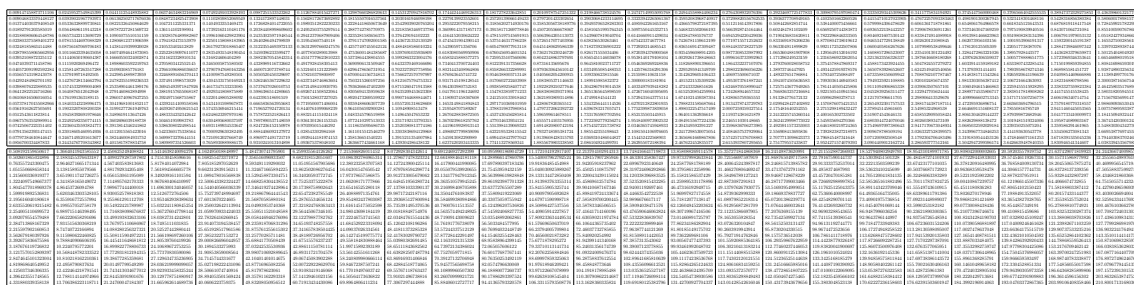
## 6.4 Resultados en Tierra Templada

### 6.4. Resultados en Tierra Templada

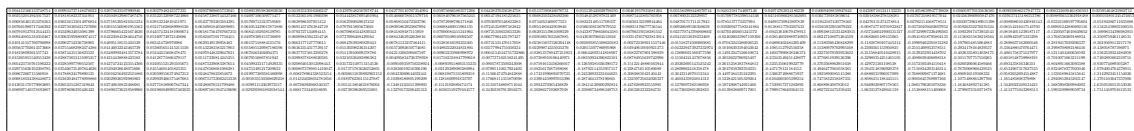
#### Mapas de carburación



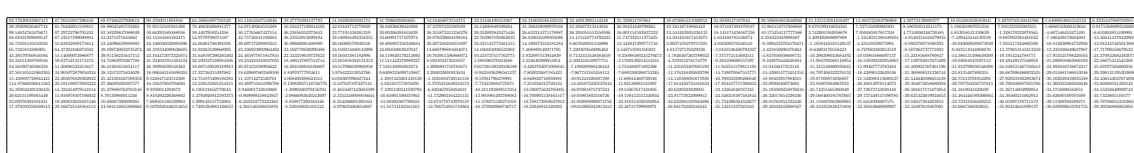
#### Mapas de inyección



#### Diferencias absolutas



#### Porcentajes de diferencia



#### Tabla resumen

nombre	consumo <sub>nyLh</sub>	km <sub>ny</sub>	consumo <sub>carbLh</sub>	km <sub>arb</sub>	celdas <sub>ny</sub>	celdas <sub>carb</sub>
tierra <sub>templada</sub>	1.1227918295472765	391.88030089016	0.9130536611158437	481.8993874492279	576	384

## 6.4 Resultados en Tierra Templada

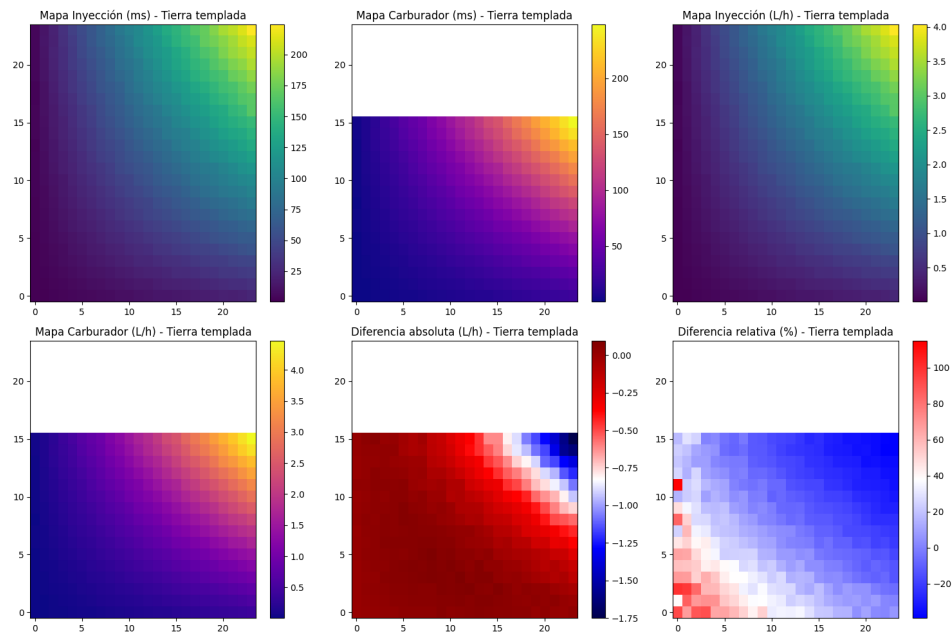


Figura 9: Mapa comparativo entre inyección y carburación en tierra templada.



## 7. Conclusiones

Las figuras y mapas generados muestran de forma coherente que el sistema de inyección tiende a producir respuestas más suaves y corregidas frente a las variaciones de RPM, apertura de mariposa y condiciones ambiente, mientras que el carburador exhibe patrones más toscos y picos de riqueza, especialmente en condiciones de baja temperatura donde el efecto del choke aumenta notablemente el consumo. Al convertir los tiempos de apertura equivalentes (pulse width en ms) a litros por hora, queda claro que en muchas celdas operativas el carburador entrega mayor flujo de combustible que la inyección, lo que se traduce en una menor autonomía por tanque; en las condiciones simuladas la inyección presenta un consumo medio menor y, por tanto, mayor kilometraje estimado para un tanque de 11 L. Estas diferencias quedan acentuadas en pisos térmicos fríos y de alta altitud, donde la inyección compensa variaciones de densidad del aire mediante correcciones y el carburador, con una geometría fija y la intervención del choke, tiende a sobreponer mezcla. Es importante resaltar que los resultados provienen de un modelo simplificado y de muestreos Monte Carlo con supuestos heurísticos (p. ej. factor de choke, rango de muestreo distinto para carburador hasta 8000 rpm), por lo que los valores absolutos son estimativos y las zonas vacías en algunos mapas son artefactos de muestreo. Desde la perspectiva NP-like, la calibración fina de mapas es intrínsecamente combinatoria: discretizar cada celda y permitir múltiples niveles por celda genera un espacio de soluciones que crece exponencialmente, de ahí la necesidad de métodos heurísticos; la integración de un algoritmo genético en la simulación demuestra una vía práctica para buscar soluciones aceptables en subespacios manejables sin recurrir a búsquedas exhaustivas. En términos prácticos, los mapas en ms y en L/h deberían acompañarse en el informe con la estimación de autonomía por tanque y con una discusión sobre sensibilidad por regiones del mapa, priorizando la calibración en las celdas que más contribuyen al consumo y validando finalmente con datos reales de logs para afinar el modelo y las estrategias de optimización.



## Bibliografía

### Referencias

- [1] Hondamaquina, “Carburación o inyección: cómo funciona cada sistema de suministro de combustible”, Hondamaquina.com. Disponible en:  
<https://hondamaquina.com/carburacion-o-inyeccion-como-funciona-cada-sistema-de-suministro-de-combustible>.  
(Consulta: Noviembre del 2025).
- [2] Motor.es, “¿Qué es la inyección?”, Motor.es. Disponible en:  
<https://www.motor.es/que-es/inyeccion>.  
(Consulta: Noviembre del 2025).
- [3] YouTube, “Carburador vs. inyector de combustible - Por qué los motociclistas deberían pensarlo 2 veces”. Disponible en:  
<https://www.youtube.com/watch?v=cYI8iEHoh-A&t=304s>.  
(Consulta: Noviembre del 2025).